

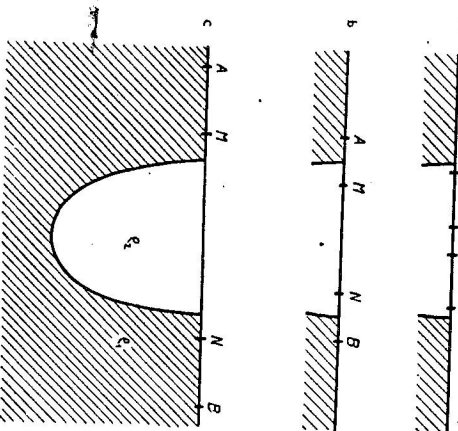
GEOELEKTRICKÉ ODPOROVÉ ANOMÁLIE

VYVOLANÉ VLOŽKOU TVARU

SPOŠTENÉHO POLELIPSOIDU

SILVESTER KRAJČOVIČ, Bratislava

Pri praktickom geoelektrickom prieskume v teréne sa môže vyskytnúť prípad, keď sa v nekonečnom polopriestore nachádza rušivé telo tvaru splošteného polielipsoidu o inej elektrickej vodivosti.



Obr. 1.

Okrajová úloha geoelektriky pre rušivé telo tohto tvaru bola vyriešená v práci [1], z ktorej preberáme pre výpočet geoelektrických odporových anomalií vzorce v tvare nekonečných konvergentných radov.

Vzťahy platné pre výpočet zdalivého špecifického odporu pri Schlumbergerovom usporiadani, a to jednak pre prípad vnútorného sýtenia (obr. 1a), jednak pre prípad vonkajšieho sýtenia (obr. 1b), majú tento tvar:

$$\begin{aligned} \rho_{zd} &= \rho_2 \left[1 + \frac{i\eta^2}{\kappa q} \sum_{n=0}^{\infty} (-1)^n \frac{(2n+1)!}{2^{2n}(n!)^2} B_{2n+1} \right], & (1) \\ \rho_{zd} &= \frac{i\eta^2 Q_1}{q} \sum_{n=0}^{\infty} (-1)^n \frac{(2n+1)!}{2^{2n}(n!)^2} B_{2n+1}^+, & (2) \end{aligned}$$

v ktorých sa pre jednoduchosť zaviedli označenia:

$$\begin{aligned} B_{2n+1} &= \frac{(\kappa - 1) N_n(1 + \eta^2) Q_n(i\eta_1) Q'_n(i\eta_1)}{1 + (\kappa - 1)(1 + \eta_1^2) P_n(i\eta_1) Q_n(i\eta_1)}, & (1a) \\ B_{2n+1}^+ &= \frac{\kappa M_n}{1 + (\kappa - 1)(1 + \eta_1^2) P_n(i\eta_1) Q_n(i\eta_1)}. & (2a) \end{aligned}$$

Všetky pre výpočet potrebné konštanti, ktoré vystupujú v rovniciach (1a) a (2a), sú uvedené v práci [1].

Pri numerickom výpočete teoretických sondážnych kriviek podľa rovnic (1) a (2) sa použilo usporiadanie výpočtov do tabuľiek, ktoré kvôli stručnosti neuvažujeme. Vo výrazoch B_{2n+1} a B_{2n+1}^+ sa vyskytujú polynómy $P_n(i\eta_1)$; $P'_n(i\eta_1)$ a Legendrovo funkcie druhého druhu s imaginárnym argumentom $Q_n(i\eta_1)$; $Q'_n(i\eta_1)$, ktoré boli určené pre $n = 0$ až $n = 7$ a majú tieto tvary:

$$\begin{aligned} P_0(i\eta) &= 1; P_1(i\eta) = i\eta; P_2(i\eta) = -(1,5\eta^2 + 0,5); P_3(i\eta) = -i(2,5\eta^3 + 1,5\eta); \\ P_4(i\eta) &= 4,375\eta^4 + 3,750\eta^2 + 0,375; P_5(i\eta) = i(7,875\eta^5 + 8,750\eta^3 + 1,875\eta); \\ P_6(i\eta) &= -(14,4375\eta^6 + 19,6875\eta^4 + 6,5625\eta^2 + 0,3125); \\ P_7(i\eta) &= -i(26,8125\eta^7 + 43,3125\eta^5 + 19,6875\eta^3 + 2,1875\eta). & (3) \end{aligned}$$

$$\begin{aligned} P'_1(i\eta) &= 1; P'_2(i\eta) = 3i\eta; P'_3(i\eta) = -(7,5\eta^2 + 1,5); P'_4(i\eta) = -i(17,5\eta^3 + 7,5\eta); \\ P'_5(i\eta) &= 39,375\eta^4 + 26,250\eta^2 + 1,875; P'_6(i\eta) = i(86,625\eta^5 + 78,750\eta^3 + 13,125\eta); \\ P'_7(i\eta) &= -(187,6875\eta^6 + 216,5625\eta^4 + 59,0625\eta^2 + 2,1875). & (4) \end{aligned}$$

$$Q_1(i\eta) = \eta \operatorname{arctg} \eta - 1; \quad Q_3(i\eta) = -\frac{1}{2} (5\eta^3 + 3\eta) \operatorname{arctg} \eta + \frac{1}{2} \left(5\eta^2 + \frac{4}{3} \right); \quad (5)$$

$$Q_5(i\eta) = \left(\frac{68}{3} \eta^5 + \frac{35}{4} \eta^3 + \frac{15}{8} \eta \right) \operatorname{arctg} \eta - \left(\frac{63}{8} \eta^4 + \frac{49}{8} \eta^2 + \frac{8}{15} \right);$$

$$Q_7(i\eta) = - \left(\frac{425}{16} \eta^7 + \frac{693}{16} \eta^5 + \frac{315}{16} \eta^3 + \frac{35}{16} \eta \right) \operatorname{arctg} \eta +$$

$$+ \frac{429}{16} \eta^6 + \frac{275}{8} \eta^4 + \frac{489}{80} \eta^2 + \frac{16}{35}; \quad (5)$$

$$Q'_1(i\eta) = -i \left(\operatorname{arctg} \eta - \frac{\eta}{1 + \eta^2} \right);$$

$$Q'_3(i\eta) = \frac{i}{2} \left(15\eta^2 \operatorname{arctg} \eta - \frac{5\eta^3}{1 + \eta^2} + 3 \operatorname{arctg} \eta - \frac{3\eta}{1 + \eta^2} - 10\eta \right). \quad (6)$$

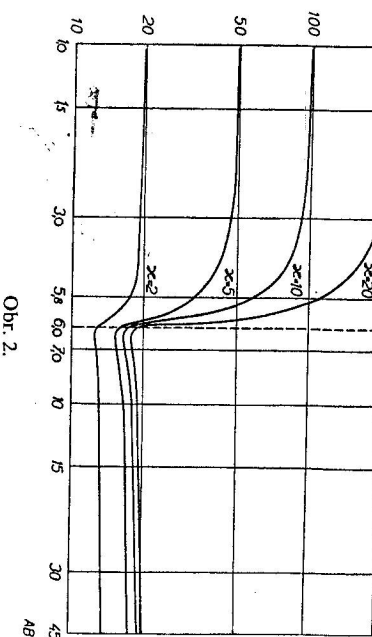
K sústave rovnic (6) poznamenávame, že výrazy pre Legendrove funkcie druhého druhu s imaginárny argumentom $Q'_4(i\eta), \dots, Q'_r(i\eta)$, ktoré sa použili v numerických výpočtoch, nie sú kvôli stručnosti uvedené.

Pre výpočet teoretických sondážnych kriviek pre Schlumbergerovu metódu sa zvolili tieto hodnoty špecifických odporov polelipsoisu a polopriestoru: $\kappa = 2,5; 10,0; 20,0$. Pri vnútornom sýnení sme zvolili tieto rozstupy sýnnych elektród: $\overline{AB} = 5,0 \text{ m}; 5,99 \text{ m}$. Pritom sme zvolili pre rušivý polelipsový tieto parametre, merané všetky v metroch: $a = 6; b = 3; e = 5,196; \eta_1 = 0,578$. Pritom pre veľké rozstupy elektród ($\overline{AB} > 30 \text{ m}$) sme použili pre výpočet hodnot Legendrových funkcií druhého druhu s imaginárnym argumentom asymptotický vzťah:

$$Q_R(i\eta) \approx (-i)^{n+1} \frac{2^n(n!)^2}{(2n+1)! \eta^{n+1}}, \quad (7)$$

ked sme sa najprv presvedčili, že už pre $Q_R(i\eta)$ je rozdiel medzi exaktným a približným výrazom $4 \cdot 10^{-3}$, kým pre $Q_R(i\eta)$ je to už len $4 \cdot 10^{-7}$, teda hodnota zanedbateľne malá.

Teoretické sondážne krivky pre Schlumbergerovu metódu sú graficky znázornené na dvojijom logaritmickom papieri, pričom modul vodorovnej súradnicovej osi je 150 mm, kým modul zvislej osi je 200 mm, aby priebeh geoelektrických anomália bol



Obr. 2.

zreteľnejší. Na obr. 2 sú na vodorovnej súradnicovej osi vynesené hodnoty vzdialenosťi \overline{AB} v metroch, kým na zvislej súradnicovej osi sú vynesené hodnoty zdanlivého špecifického elektrického odporu.

Z grafického znázormenia teoretických kriviek je na prvý pohľad zrejmé, že pri vonkajšom sýnení sa geoelektrická anomália aj pre veľký rozstup elektród A, B vždy zreteľne odlišuje od špecifického elektrického odporu polopriestoru, ktorý sme v násom prípade zvolili rovný $1 \Omega \text{ m}$. Svojim priebehom priponájú teoretické

krivky „dvojvrstvový profil“ aspoň v prvej časti uvažovaného rozstupu sýnnych elektród.

Pre výpočet teoretických sondážnych kriviek pre Wenneroovo usporiadanie sa zvolili také isté parametre ako v predošom odseku. Rozdiel však je v tom, že výpočet sa robil v troch etapách, pretože vzájomné vzdialenosťi medzi sýnnymi a mernými elektródami sa v tomto prípade rádovo nelisia, $\overline{MN} = 1/3 \overline{AB}$.

V prvej etape výpočtu, pre rozstup merných elektród $\overline{MN} < 2 \text{ m}$ (obr. 1a) sme použili vzorec:

$$\varrho_{zd} = \varrho_2 \left[1 + \frac{8e\eta}{\kappa q} \sum_{n=0}^{\infty} B_{2n+1} P_{2n+1}(i\eta) \right], \quad (8)$$

v ktorom

$$B_{2n+1} = - \frac{(\kappa - 1)(1 + \eta^2) N_n Q_n(i\eta_1) Q'_n(i\eta_1)}{1 + (\kappa - 1)(1 + \eta_1^2) P_n(i\eta_1) Q_n(i\eta_1)}, \quad (8a)$$

a to pre tieto vzdialenosťi merných elektród $\overline{MN} = 1,0 \text{ m}; 1,5 \text{ m}; 1,9 \text{ m}$.

Pre druhú etapu výpočtu teoretických kriviek, keď sa aj merné aj sýne elektródy M, N ešte nachádzajú na povrchu elipsoidu, kým sýne elektródy A, B sú už vo vonkajšom polopriestore, použili sme pre výpočet vzťah:

$$\varrho_{zd} = \frac{8e\eta\varrho_1}{q} \sum_{n=0}^{\infty} B_{2n+1} P_{2n+1}(i\eta), \quad (9)$$

pre rozstup merných elektród $\overline{MN} = 2,1 \text{ m}; 2,5 \text{ m}; 4,0 \text{ m}; 5,5 \text{ m}$.

Konečne pre treťiu etapu výpočtu, keď sa aj merné aj sýne elektródy M, N ešte mimo oblasť rušivého telesa (obr. 1c), vypočítali sa teoretické krivky podľa rovnice

$$\varrho_{zd} = \varrho_1 \left[1 + \frac{8e\eta}{q} \sum_{n=0}^{\infty} A_{2n+1} P_n(i\eta_1) Q_{2n+1}(i\eta_1) \right], \quad (10)$$

v ktorej

$$A_{2n+1} = - \frac{(\kappa - 1)(1 + \eta_1^2) M_n P_n(i\eta_1) P'_n(i\eta_1)}{1 + (\kappa - 1)(1 + \eta_1^2) P_n(i\eta_1) Q'_n(i\eta_1)}. \quad (10a)$$

Pre výpočet tejto etapy sa zvolili tieto rozstupy merných elektród: $\overline{MN} = 7,0 \text{ m}; 10,0 \text{ m}; 15,0 \text{ m}$.

Teoretické sondážne krivky pre toto usporiadanie sú zase graficky vynesené na dvojijom logaritmickom papieri, pre také isté moduly ako v predošom odseku. Priebeh týchto kriviek je zrejmý z obr. 3.

Na rozdiel od teoretických sondážnych kriviek pre Schlumbergerovu usporiadanie majú tieto krivky vyslovene „trojvrstvový charakter“. Pritom je z ich priebehu nájsť anomália v intervale $4,0 \text{ m} \leq \overline{MN} \leq 6,0 \text{ m}$, spôsobená zrejmé prechodom

sýtnych elektrív z oblasti rušivého polelipsoidu do oblasti vonkajšieho polopriesoru.

V ďalšej časti priebehu teoretických kriviek sa postupne začína prejavovať asymptotické klesanie hodnoty zdanlivého špecifického odporu k hodnote Q_1 , teda k špecifickému odporu polopriesoru.

Môžeme teda konštatovať, že geoelektrické odporové anomálie, vytvorené v nekončom polopriesore rušivou polelipsoidálou vložkou, môžu sa pri terénnych



Obr. 3.

meraniach prejaviť rozličným spôsobom. Veľkosť a zmena geoelektrických anomálií závisí predovšetkým od geometrického usporiadania merných sond a sýtnych elektrív, a to najmä vtedy, keď sa stred geoelektrickej sondaze nachádza v strede rušivej vložky o inom špecifickom odpore.

Zatiaľ čo pri Wennerovom usporiadaní elektrív a sond vplyv rušivej vložky pri zväčšovaní sa vzdialenosť MN postupne mizne, dokonca aj pre $\kappa = 20$ je už pri $AB = 10$ m geoelektrická anomália zanedbateľná, nie je to tak pri Schlumbergerovom usporiadaní. Pri tejto meračskej schéme je ešte aj pri $AB = 100$ m geoelektrická anomália dosť veľká (10%) a má miernu stúpajúcu, alebo aspoň neklesajúcu tendenciu.

Je to do určitej miery výsledok analogický tomu, ktorý sa dosiahol v práci [2], tam sa urobila analýza geoelektrických odporových anomálií pre prípad rušivého telosa tvaru polgule pre také isté meračskej schémy ako v tejto práci.

Môžeme teda formulovať výsledok náslovo rozboru takto: aj pomerne malá povrchová inhomogenita o inej elektrickej vodivosti, ako má okolie prostredie, môže sa pri nevhodne zvolenej meračskej schéme prejavovať do značnej vzdialenosť. Je to tak najmä vtedy, keď je inhomogenita v strede sondy dôležité. Znamená to teda, že volba vhodnej meračskej schémy je pri odporových meraniach – najmä v teréne s povrchovými inhomogenitami – veľmi dôležitá.

LITERATÚRA

- [1] Kolbenheyer T., *Riešenie okrajovej úlohy odporovej geoelektriky pre splietaný rotačný elipsoid*, Geofyzikálni sborník 1955, č. 33.
- [2] Krajčovič S., *Geoelektrické odporové anomálie vytvorené polgulou povrchovou inhomogenitou*, Geofyzikálni sborník 1959, č. 120.
- [3] Hobson E. W., *The theory of spherical and ellipsoidal harmonics* (ruský preklad), Moskva 1952.

Došlo 30. 4. 1960.

Geofyzikálne laboratórium
Slovenskej akadémie vied
v Bratislave

ГЕОЭЛЕКТРИЧЕСКИЕ АНОМАЛИИ, СОЗДАННЫЕ ТЕЛОМ ФОРМЫ СЖАТОГО ПОЛУЭЛЛИПСОИДА

Сильвестр Крайчович

Резюме

В работе вычислены и построены теоретические кривые геоэлектрических аномалий, созданных телом сжатого полуэллипсона вращения, электрическая проводимость которого отличается от элекстрической проводимости бесконечного однородного изотропного полупространства. Теоретические кривые вычислены для различных соотношений удаленных электрических сопротивлений полуэллипсона и полуспространства, а именно для установок Веннетера и Штумберже. При этом оказалось, что теоретические кривые для установки Веннетера имеют трехслойный вид, а теоретические кривые для установки Штумберже напоминают двухслойный вид.

В заключении работы дан анализ полученных результатов, которые сравниваются с результатами геоэлектрических аномалий, для случая, когда тело возмущения имеет форму полуэллипса.

Наконец, в работе отмечается большое значение подобного выбора установки, а именно такого, чтобы результаты полевых работ были как можно более эффективными.

VON GEOELEKTRISCHEN ANOMALIEN, DIE DURCH DAS ABGEPLATTETE ROTATIONSELLIPSOID HERVORGERUFEN SIND

Silvester Krajčovič

Zusammenfassung

In der Arbeit werden die theoretischen Kurven der geoelektrischen Anomalien, die durch das abgeplattete Rotationsellipsoid im unendlichen Halbraume von anderen Leitfähigkeit hervorgerufen sind, gerechnet und konstruiert.

Die theoretischen Kurven werden für verschiedene Verhältnisse der speziischen Widerstände des Halbellipsoides und des Halbraumes gerechnet. Es handelt sich um die Wenersche und Schiumbergerische Anordnung der Stromelektroden und Meßsonden.

Daraus erfolgt, daß die theoretischen Kurven für die Wennersche Anordnung dreischichtige Form haben, indessen die theoretischen Kurven für die Schlumbergersche Anordnung die zweischichtige Form haben.

Am Schluß der Arbeit wird die Analyse der erreichten Resultate durchgeführt. Die Resultate werden mit anderen Resultaten und zwar mit Anomalien für Halbkugel im Halbraume verglichen. In dieser Arbeit wird gezeigt auf die große Bedeutung der entsprechenden Wahl der Meßanordnung der Elektroden.